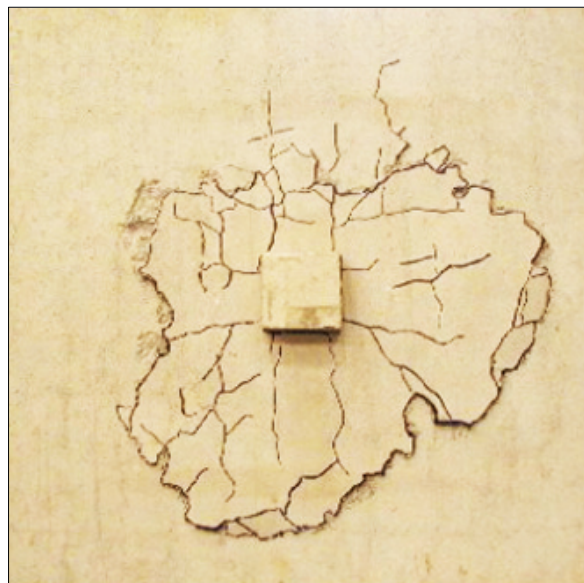


## แรงเฉือนเจาะทะลุในพื้นที่ Post Tension (ตอนที่ 1)

พื้น Post tension เป็นพื้นไร้คานคอนกรีตชนิดหนึ่ง ซึ่งอาศัยพื้นคอนกรีตรับน้ำหนักบรรทุกแล้วถ่ายน้ำหนักลงเสาโดยตรง ดังนั้นจึงจำเป็นต้องป้องกันการวิบัติในรูปแบบของแรงเฉือนเจาะทะลุ (Punching shear failure) ซึ่งส่วนใหญ่จะเป็นตัวควบคุมความหนาของพื้น หรือกำหนดความจำเป็นที่จะต้องเพิ่มหมวกหัวเสา (Column capital or Shear cap) หรือแป้นหัวเสา (Drop panel) การหาค่าแรงเฉือนเจาะทะลุที่เกิดขึ้นและกำลังการรับแรงเฉือนเจาะทะลุของพื้น จึงมีความจำเป็นที่จะต้องคำนวณอย่างถูกต้อง รายละเอียดที่เกี่ยวข้องกับแรงเฉือนเจาะทะลุในพื้นที่ Post tension มีเนื้อหามาก ดังนั้นจึงขอแบ่งเนื้อหาออกเป็นตอนๆ โดยจะทยอยลงเนื้อหาเกี่ยวกับแรงเฉือนเจาะทะลุในพื้นที่ Post tension อย่างต่อเนื่องจนครบ

รูปแบบการวิบัติโดยทั่วไปของแรงเฉือนเจาะทะลุ จะมีลักษณะเป็นรอยร้าวรอบๆ เสา ดังรูป



(Punching shear failure in a test specimen at University of Waterloo, Ontario)  
โดยเมื่อเกิดการวิบัติ พื้นจะหลุดออกจากเสา โดยที่หัวเสาจะเหลือคอนกรีตเป็นกรวยที่หัวเสา



การวิบัติในลักษณะนี้จะเกิดขึ้นโดยไม่มีอาการโองตัวเป็นสัญญาณเตือนเหมือนการวิบัติเนื่องจากแรงดัดตั้งนั้นการออกแบรับแรงเฉือนจะทะลุจึงมีความสำคัญเป็นอย่างมากในการออกแบบพื้นไร้คาน

โดยทั่วไปในการออกแบบพื้น Posttension จะกำหนดความหนาพื้นเริ่มต้นก่อนแล้วมาตรวจสอบแรงเฉือนจะทะลุว่าความหนาของพื้นที่กำหนดไว้สามารถรับแรงเฉือนจะทะลุได้หรือไม่การหาแรงเฉือนจะทะลุที่เกิดขึ้นจริงจึงมีความสำคัญนอกจากเกิดจากน้ำหนักบรรทุกทุกในแนวตั้งแล้ว ผลจาก Unbalanced moment และ ผลจากแรงกระทำด้านข้างของอาคาร (แรงลม, แผ่นดินไหว เป็นต้น) ทำให้ค่าแรงเฉือนจะทะลุสูงขึ้นด้วย เนื้อหาในส่วนนี้จะมามีวิธีการคำนวณอยู่หลายขั้นตอน “จึงขอแนะนำให้อยู่ในภาคผนวกต่อท้ายของบทความซึ่งอยู่ในไฟล์ที่ให้ Download”

ในกรณีที่มีความหนาพื้นที่กำหนดไว้สามารถออกแบบลวดอัดแรงรับแรงดัดได้ แต่ไม่สามารถรับแรงเฉือนจะทะลุได้ และการเพิ่มความหนาพื้นเฉพาะหัวเสาไม่ส่งผลอะไรกับงานสถาปัตยกรรมและงานระบบต่างๆ จะนิยมใช้ Column Capital ในการเพิ่มกำลังรับแรงเฉือนจะทะลุ โดย Column capital ที่ใช้โดยทั่วไป จะมีรูปร่างดังนี้

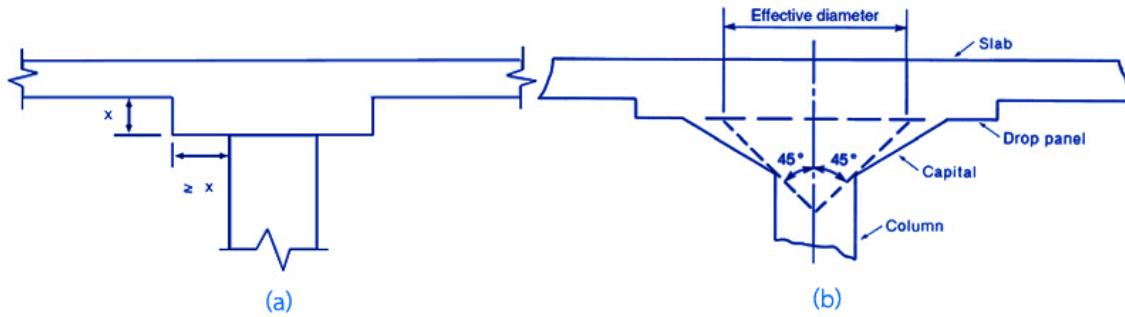


จากรูปจะเห็นว่าสามารถทำรูปแบบของ Column capital ได้หลายรูปแบบทั้ง การเพิ่มความหนาเป็นรูปแบบสี่เหลี่ยมตรงๆ ดังรูปที่ 1 การทำเป็นกรวยกลม ดังรูปที่ 2 และ การทำเป็นกรวยรูปปิรามิดดังรูปที่ 3

ใน ACI318 มีข้อกำหนดลักษณะของ Column capital ไว้ในหัวข้อ 13.2.6 ดังนี้

**13.2.6 —** When used to increase the critical condition section for shear at a slab-column joint, a shear cap shall project below the slab and extend a minimum horizontal distance from the face of the column that is equal to the thickness of the projection below the slab soffit.

โดยสามารถอธิบายเป็นรูปได้ดังรูปด้านล่าง



เมื่อต้องการเพิ่มเส้นรอบรูปรอบหน้าตัดวิกฤต,  $b_o$  ที่ระยะ  $d/2$  จากขอบเสา สามารถทำได้โดยเพิ่มความลึกเฉพาะบริเวณใกล้เสา โดยกำหนดให้มีระยะยื่นจากขอบเสาคงที่มากกว่าระยะที่เพิ่มความหนาลงมา ดังรูป (a) หรือถ้าเพิ่มความหนาในลักษณะเป็นกรวย มุมจะต้องมากกว่า 45 องศา ตามรูป (b)

ส่วนในกรณีที่มีความหนาของพื้นที่ที่กำหนดมา ไม่สามารถรับแรงเฉือนและทอร์ชันและโมเมนต์ลบได้ สามารถทำลักษณะเดียวกับ Column capital ได้ แต่ต้องขยายระยะยื่นให้มากขึ้น เรียกว่าแป้นหัวเสา (Drop panel) โดยมีลักษณะดังรูป

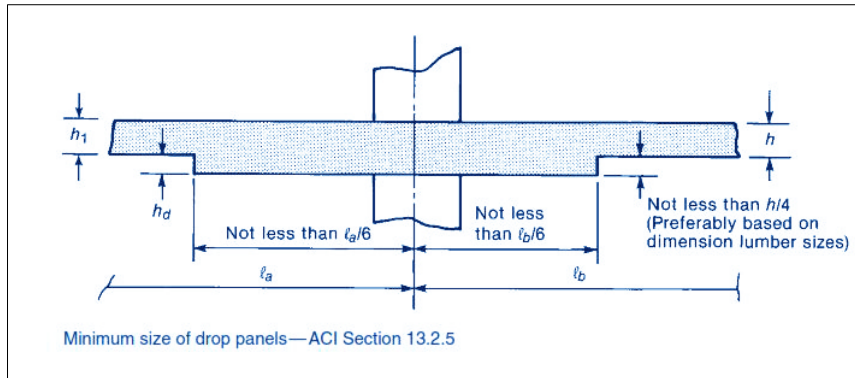


โดยระยะยื่นจะต้องเป็นไปตามข้อกำหนดของ ACI318 ข้อที่ 13.2.5

**13.2.5** — When used to reduce the amount of negative moment reinforcement over a column or minimum required slab thickness, a drop panel shall:

- (a) project below the slab at least one-quarter of the adjacent slab thickness; and
- (b) extend in each direction from the centerline of support a distance not less than one-sixth the span length measured from center-to-center of supports in that direction.

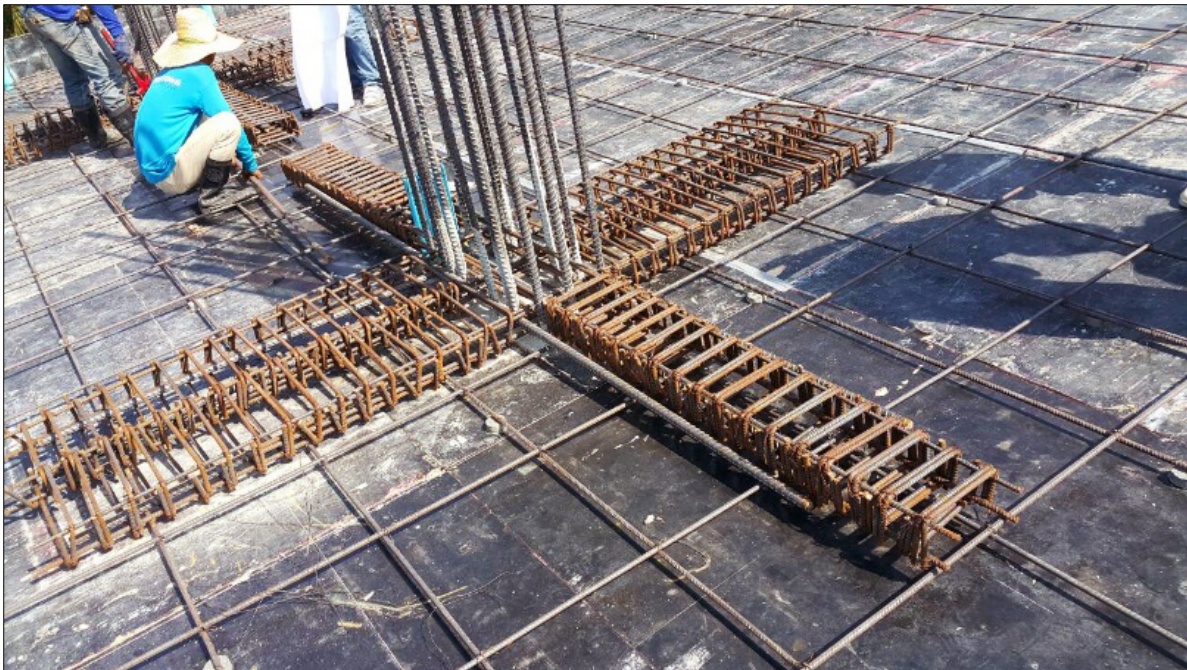
สามารถอธิบายเป็นรูปได้ ดังนี้



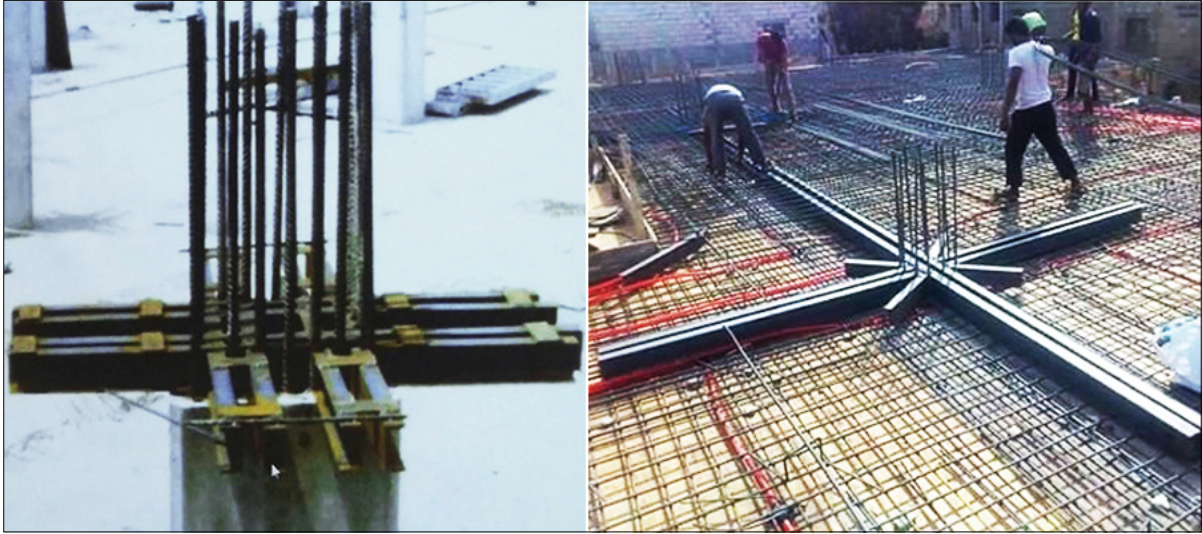
เมื่อต้องการเพิ่มกำลังรับโมเมนต์ลบบริเวณหัวเสาและกำลังรับแรงเฉือนเจาะทะลุ สามารถใช้ drop panel ในการเพิ่มกำลังได้ โดยกำหนดให้ความยาวในแต่ละด้านของ drop panel ต้องไม่น้อยกว่า 1/6 ของความยาวของช่วงเสาด้านนั้นๆ ( $L/6$ ) และจะต้องเพิ่มความหนาขึ้นไม่น้อยกว่า 0.25 เท่าของความหนาพื้นเดิม

ในกรณีที่แรงเฉือนเจาะทะลุที่เกิดขึ้นความหนาพื้นที่กำหนดมาไม่สามารถรับได้ แต่เราไม่ต้องการให้มี Drop panel หรือ Column capital เรายังสามารถทำได้โดยการเพิ่มกำลังรับแรงเฉือนเจาะทะลุให้กับพื้นโดยการเสริมเหล็ก ซึ่งมีรูปแบบการเสริมเหล็กตามที่ ACI318 กำหนดอยู่ 3 วิธีดังนี้

1. การเสริมเหล็กกับแรงเฉือนเจาะทะลุด้วยเหล็กเสริม (Shear reinforcement consisting of bars)



2. การเสริมเหล็กรับแรงเฉือนเจาะทะลุด้วยเหล็กรูปพรรณ (Shear reinforcement consisting of steel I or C shaped sections, shearhead)



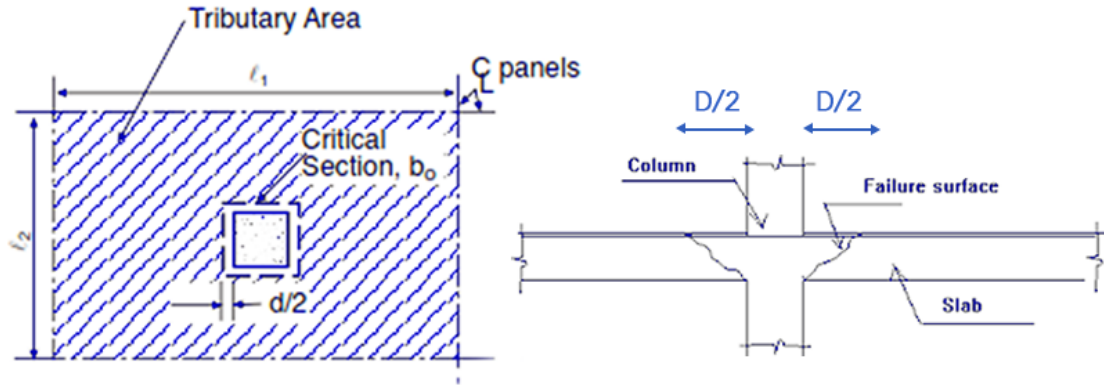
3. การเสริมเหล็กรับแรงเฉือนเจาะทะลุด้วยเหล็กหัวหมุดเฉือน (Headed shear stud reinforcement, shear studs)



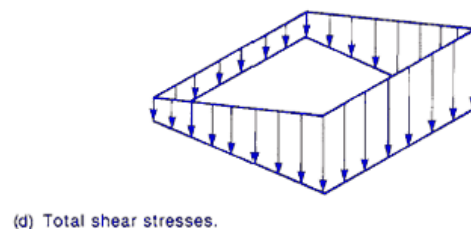
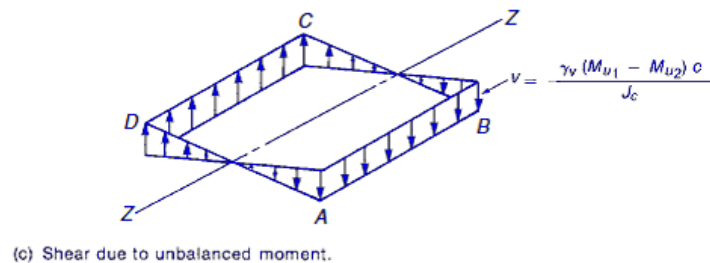
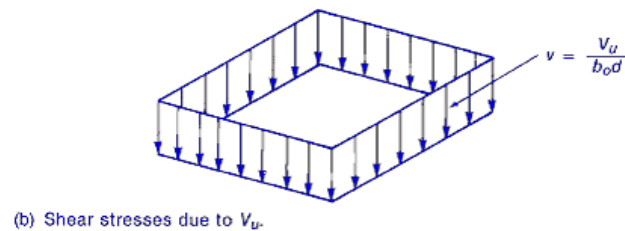
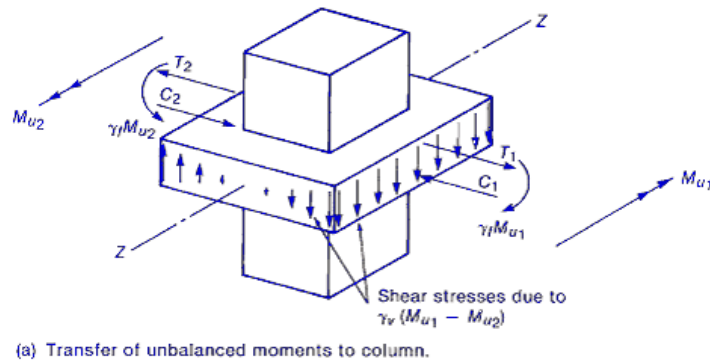
"โดยรายละเอียดการติดตั้งและการคำนวณออกแบบของทั้งสามกรณีจะกล่าวถึงในครั้งต่อไป"

## ภาคผนวก

### 1. การคำนวณค่าแรงเฉือนเจาะทะลุในพื้นที่ POST TENSION



จากรูปค่าแรงเฉือนเจาะทะลุสามารถหาได้จากการกำหนดเส้นรอบรูปของหน้าตัดวิกฤติ,  $b_o$  โดยกำหนดให้เป็นระยะที่ขยายออกมาจากขอบเสาด้านละ  $d/2$  เมื่อได้หน้าตัดวิกฤติแล้ว เราสามารถหาแรงเฉือนได้โดยคำนวณจากน้ำหนักบรรทุกที่อยู่ในพื้นที่ๆ แรงงัดตั้งรูปด้านบน



นอกจากนี้ในโครงสร้างที่เป็น Frame อาจเกิดโมเมนต์ไม่สมดุล (Unbalanced moment) ที่จุดต่อระหว่างพื้นกับเสาได้ ดังนั้นจึงต้องคำนึงถึงค่า Punching shear ที่เพิ่มขึ้นเนื่องจากโมเมนต์ไม่สมดุลด้วย การคำนวณค่า shear stress มากที่สุดบนหน้าตัดวงกลมรอบเสา โดยพิจารณาจุดต่อระหว่างเสาและพื้นที่มีแรงเฉือนและโมเมนต์เกิดขึ้น สามารถหาได้จากสมการนี้

$$v_u = \frac{Vu}{b_o d} \pm \frac{\gamma_v Mu c}{J}$$

โดยที่  $Mu$  = ค่าโมเมนต์ที่ถ่ายทอดมาที่จุดต่อ

$J$  = ค่า Polar moment of inertia ประสิทธิผล สำหรับหน้าตัดวงกลม

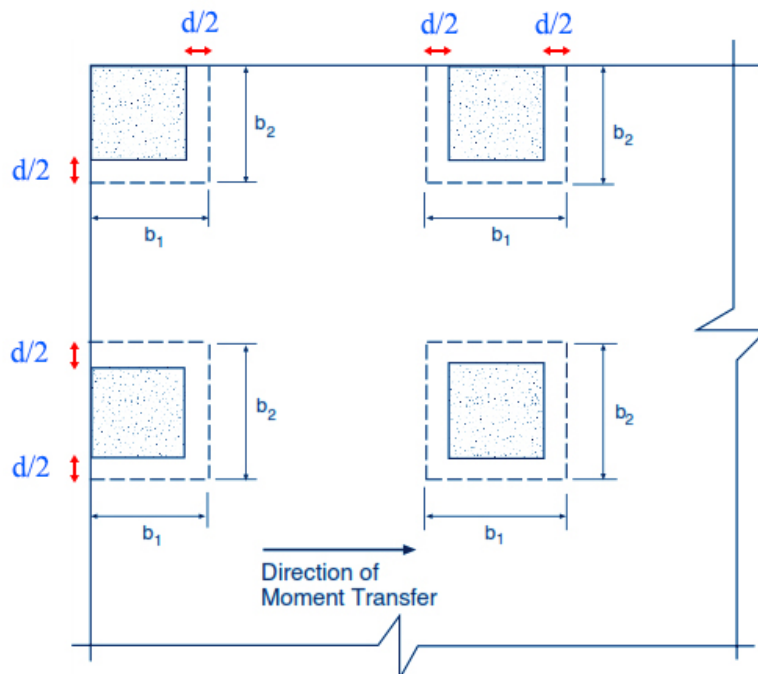
$c$  = ระยะจากจุดศูนย์กลางของหน้าตัดวงกลมถึงเส้นรอบรูปด้านที่ทำการวิเคราะห์

$\gamma_v$  = สัดส่วนของโมเมนต์ไม่สมดุลที่ถ่ายด้วยแรงเฉือน =  $1 - \gamma_f$  **ACI 11-37**

$$\gamma_f = \text{สัดส่วนของโมเมนต์ไม่สมดุลที่ถ่ายด้วยแรงดัด} = \frac{1}{1 + \left(\frac{2}{3}\right)\sqrt{\frac{b_1}{b_2}}} \quad \text{ACI 13-1}$$

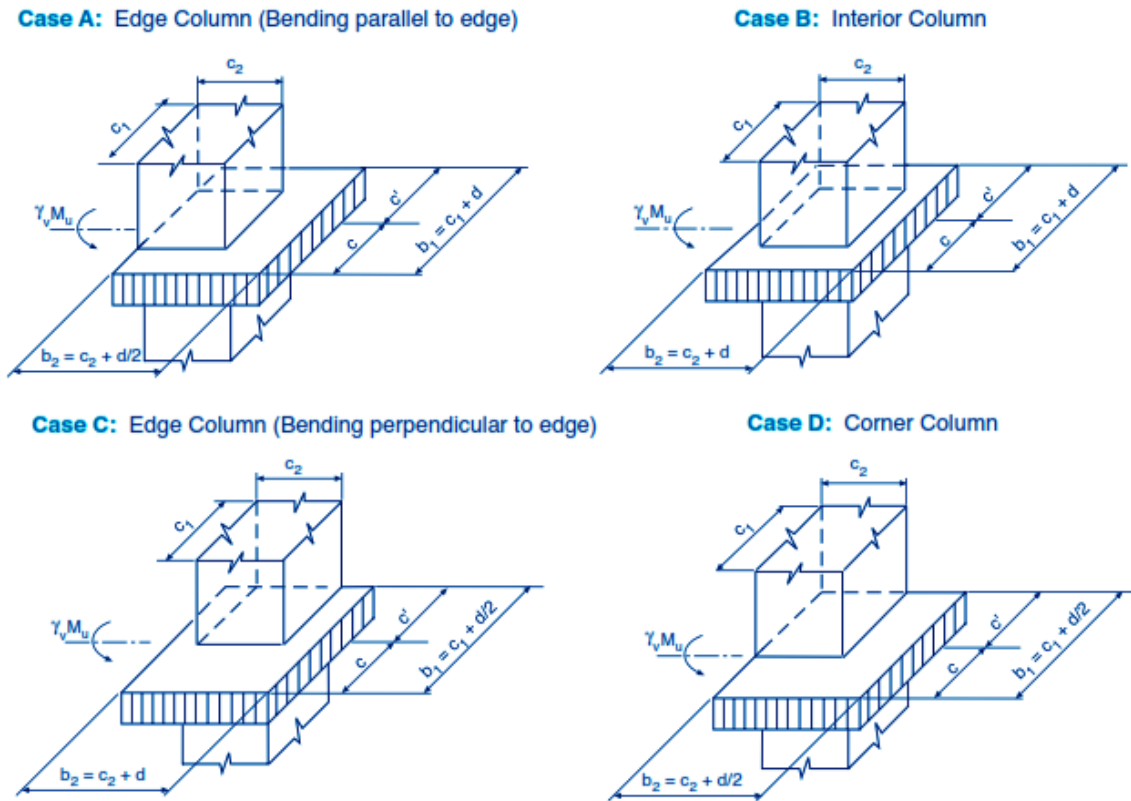
$b_1$  = ความกว้างของด้านของเส้นรอบรูปของหน้าตัดวงกลม ในแนวที่ทำการวิเคราะห์

$b_2$  = ความกว้างของด้านของเส้นรอบรูปของหน้าตัดวงกลม ในแนวตั้งฉากกับแนวที่ทำการวิเคราะห์



รูปที่ 3.16 แสดงระยะ  $b_1$  และ  $b_2$

จากสมการด้านบน ค่า  $J/c$  สามารถคำนวณเป็นสูตรสำเร็จเพื่อช่วยในการคำนวณได้ดังรูปด้านล่างนี้



Case	Area of critical section, $A_c$	Modulus of critical section		c	c'
		$J/c$	$J/c'$		
A	$(b_1 + 2b_2)d$	$\frac{b_1 d (b_1 + 6b_2) + d^3}{6}$	$\frac{b_1 d (b_1 + 6b_2) + d^3}{6}$	$\frac{b_1}{2}$	$\frac{b_1}{2}$
B	$2(b_1 + b_2)d$	$\frac{b_1 d (b_1 + 3b_2) + d^3}{3}$	$\frac{b_1 d (b_1 + 3b_2) + d^3}{3}$	$\frac{b_1}{2}$	$\frac{b_1}{2}$
C	$(2b_1 + b_2)d$	$\frac{2b_1^2 d (b_1 + 2b_2) + d^3 (2b_1 + b_2)}{6b_1}$	$\frac{2b_1^2 d (b_1 + 2b_2) + d^3 (2b_1 + b_2)}{6(b_1 + b_2)}$	$\frac{b_1^2}{2b_1 + b_2}$	$\frac{b_1 (b_1 + b_2)}{2b_1 + b_2}$
D	$(b_1 + b_2)d$	$\frac{b_1^2 d (b_1 + 4b_2) + d^3 (b_1 + b_2)}{6b_1}$	$\frac{b_1^2 d (b_1 + 4b_2) + d^3 (b_1 + b_2)}{6(b_1 + 2b_2)}$	$\frac{b_1^2}{2(b_1 + b_2)}$	$\frac{b_1 (b_1 + 2b_2)}{2(b_1 + b_2)}$

รูปที่ 3.17 ตารางแสดงค่า  $A_c$ ,  $J/c$  และ  $J/c'$  สำหรับเสาสี่เหลี่ยม



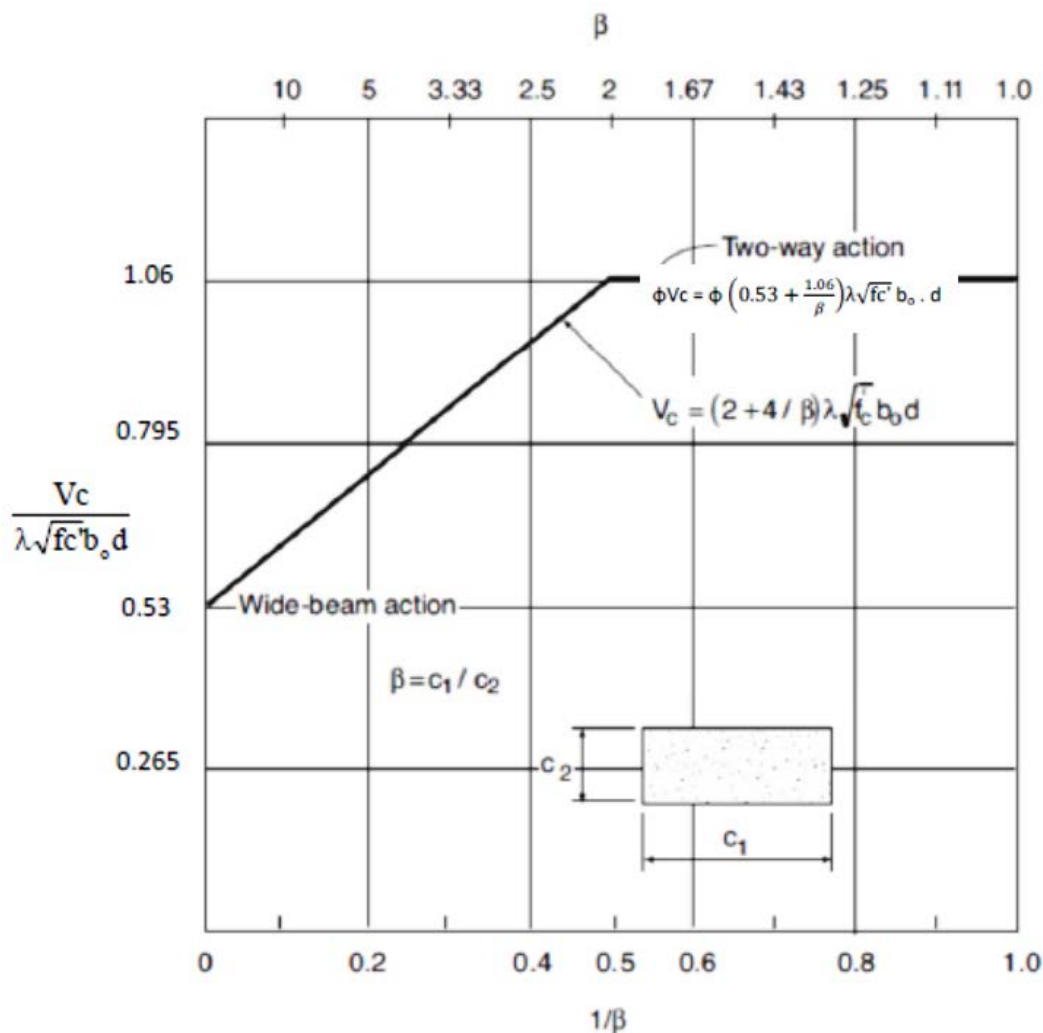
## 2. การคำนวณค่ากำลังรับแรงเฉือนเจาะทะลุของพื้น

ค่ากำลังรับแรงเฉือนเจาะทะลุของพื้น ACI ได้กำหนดไว้ดังนี้  $\phi V_c = \phi 1.06\sqrt{f'_c} b_o \cdot d$  แสดงไว้ในสูตรที่ ACI 11-33 แต่ยังคงคำนึงถึงผลกระทบอีกสองปัจจัยที่อาจทำให้กำลังรับแรงเฉือนเจาะทะลุมีค่าลดลงได้

2.1 ผลของอัตราส่วนระหว่างด้านยาวและด้านสั้นของเสา,  $\beta$  จะทำให้กำลังรับแรงเฉือนเจาะทะลุของเสามีค่าลดลง เมื่อ อัตราส่วนดังกล่าวมีค่ามากกว่า 2.0 ดังนั้นสมการกำลังรับแรงเฉือนของเสาเปลี่ยนเป็น

$$\phi V_c = \phi \left( 0.53 + \frac{1.06}{\beta} \right) \lambda \sqrt{f'_c} b_o \cdot d \quad \text{ACI 11-31 } (\lambda=1 \text{ for normal concrete})$$

และสามารถเขียนเป็นกราฟแสดงความสัมพันธ์ระหว่าง  $\beta$  กับสมการ  $\frac{V_c}{\lambda \sqrt{f'_c} b_o d}$  ได้ดังรูป

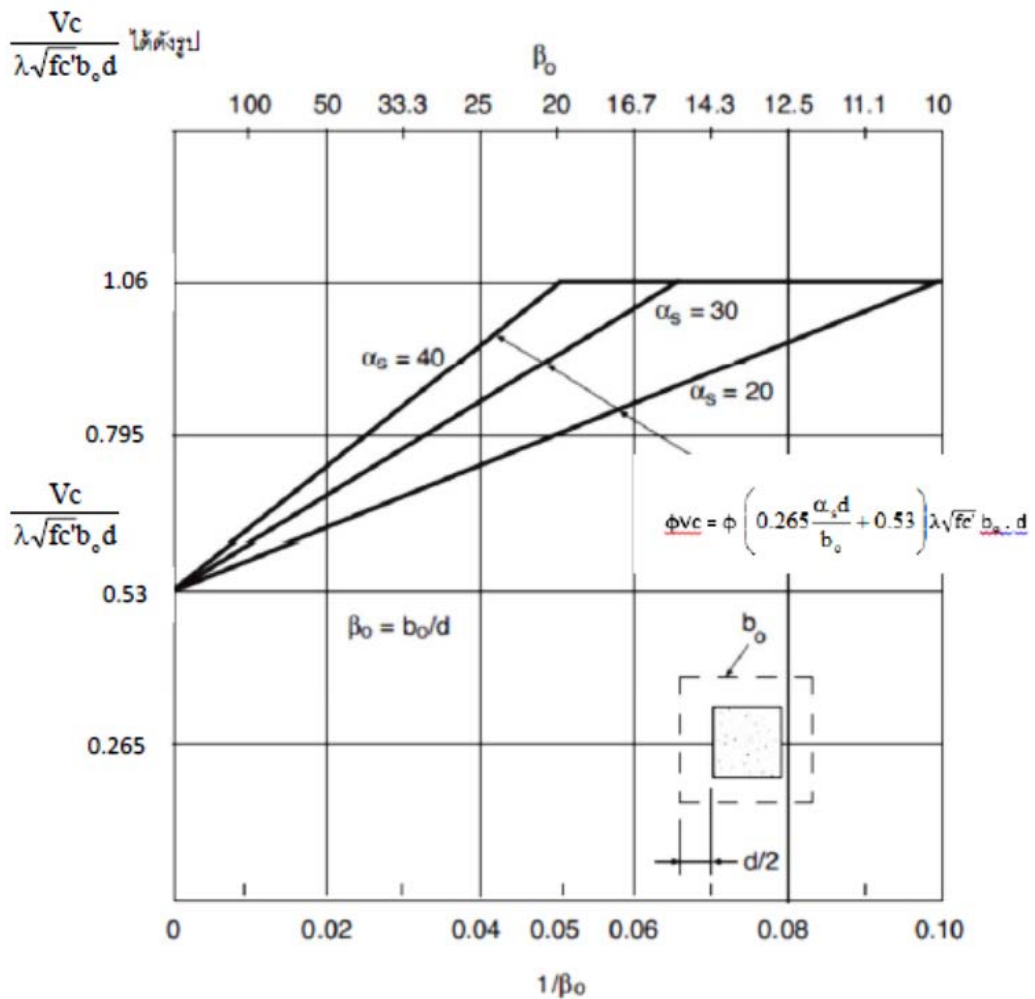


กราฟแสดงความสัมพันธ์ระหว่าง  $\beta$  กับสมการ  $\frac{V_c}{\lambda \sqrt{f'_c} b_o d}$

จากกราฟสามารถอธิบายได้ว่า เมื่อค่า  $\beta$  มีค่าน้อยกว่า 2 หรือเสามีลักษณะเป็นสี่เหลี่ยมผืนผ้าที่มีด้านยาว ยาวกว่า ด้านสั้นไม่เกินสองเท่า กำลังรับแรงเฉือนจะจะมีค่าไม่เกิน  $\phi 1.06\sqrt{f_c'} b_o \cdot d$  จนเมื่อเสาเป็นเสาจัตุรัสที่มีค่า  $\beta$  เท่ากับ 1. และเมื่อเสามีลักษณะเป็นสี่เหลี่ยมผืนผ้ามากขึ้นค่า  $\beta$  มากกว่า 2 ด้านยาวยาวกว่าด้านสั้นมากกว่าสองเท่า กำลังรับแรงเฉือนจะจะมีค่าลดลงตามสมการ จนมีค่ากำลังรับแรงเฉือนต่ำที่สุดไม่น้อยกว่า  $\phi 0.53\sqrt{f_c'} b_o \cdot d$

2.2 ผลกระทบของค่าอัตราส่วนระหว่าง  $b_o/d$  ต่อกำลังรับแรงเฉือนจะทะเลดู โดยพบว่าเมื่อค่า  $b_o/d$  มีค่าเพิ่มขึ้นจะส่งผลให้กำลังรับแรงเฉือนจะทะเลดูมีค่าลดลง สามารถแสดงค่าความสัมพันธ์ได้ดังสมการต่อไปนี้

$$\phi V_c = \phi \left( \frac{\alpha_s d}{b_o} + 0.53 \right) \lambda \sqrt{f_c'} b_o \cdot d \quad \text{ACI 11-32 } (\lambda=1 \text{ for normal concrete})$$



กราฟแสดงความสัมพันธ์ระหว่าง  $\beta_o$  กับสมการ  $\frac{V_c}{\lambda\sqrt{f_c}b_o d}$

จากกราฟจะแสดงความสัมพันธ์ของ  $b_o/d$  กับค่ากำลังรับแรงเฉือน สำหรับเสาภายใน, เสาขอบ และเสามุม โดยกำหนดให้ เสาภายในมีค่า  $\alpha_s$  เท่ากับ 40, เสาขอบมีค่า  $\alpha_s$  เท่ากับ 30 และเสามุมมีค่า  $\alpha_s$  เท่ากับ 20 เมื่อเสามีขนาดใหญ่มากขึ้นจะทำให้เส้นรอบรูปของหน้าตัดวิกฤติ,  $b_o$  มีค่ามากขึ้น และอัตราส่วน  $\beta_o$  มีค่ามาก แต่จะกลับส่งผลให้ค่ากำลังรับแรงเฉือนมีค่าลดลงเรื่อยๆ โดยค่ากำลังรับแรงเฉือนเจาะทะลุต่ำที่สุดไม่น้อยกว่า  $\phi 0.53\sqrt{f_c} b_o d$